

# TiO<sub>2</sub> 光催化失活复活特性与表面 NO<sub>3</sub><sup>-</sup>浓度的关系

周忠华<sup>\*1</sup> 黄 悅<sup>2</sup> 孟彦超<sup>1</sup> 吴玉萍<sup>1</sup>

(<sup>1</sup> 厦门大学材料学院, 厦门 361005)

(<sup>2</sup> 日本科发伦材料株式会社, 东京 141-0032, 日本)

**摘要:** 以乙醛作为活性标的, 通过人为控制表面附着 NO<sub>3</sub><sup>-</sup>浓度, 检测 TiO<sub>2</sub> 对乙醛的吸附能力和光催化降解能力, 得出了 TiO<sub>2</sub> 光催化失活复活特性和表面附着 NO<sub>3</sub><sup>-</sup>浓度的定量关系。结果表明, 表面附着 NO<sub>3</sub><sup>-</sup>浓度达到 4.24wt% 时, 光催化降解能力降低 50%; 表面附着 NO<sub>3</sub><sup>-</sup>浓度达到 10.50wt% 时, TiO<sub>2</sub> 的吸附能力降低 50%; 通过溢流状态下水洗 2 h, 可除去 98% 的表面附着 NO<sub>3</sub><sup>-</sup>, 使 TiO<sub>2</sub> 光催化活性复活。

**关键词:** TiO<sub>2</sub>; 光催化; NO<sub>3</sub><sup>-</sup>; 失活; 复活

中图分类号: O614.41<sup>\*</sup>1; X783 文献标识码: A 文章编号: 1001-4861(2010)02-0211-06

## TiO<sub>2</sub> Photocatalytic Deactivation and Regeneration vs Adsorbed NO<sub>3</sub><sup>-</sup> Concentration

ZHOU Zhong-Hua<sup>\*1</sup> HUANG Yue<sup>2</sup> MENG Yan-Chao<sup>1</sup> WU Yu-Ping<sup>1</sup>

(<sup>1</sup>College of Materials, Xiamen University, Xiamen, Fujian 361005)

(<sup>2</sup>Covalent Materials Corporation, Tokyo 141-0032, Japan)

**Abstract:** The quantitative relation between deactivation and the adsorbed NO<sub>3</sub><sup>-</sup> concentration was studied by intentionally controlling the adsorbed NO<sub>3</sub><sup>-</sup> concentration. The photolysis ability and adsorption ability of TiO<sub>2</sub> was detected against acetaldehyde as a probe. The results show that when the adsorbed NO<sub>3</sub><sup>-</sup> concentration reaches 4.24wt%, photolysis ability decreases 50%; when the adsorbed NO<sub>3</sub><sup>-</sup> concentration is 10.50wt%, the TiO<sub>2</sub> adsorption ability decreases 50%; after water overflow-cleaning 2 h, the NO<sub>3</sub><sup>-</sup> is removed by 98% and the photocatalytic activity is regenerated.

**Key words:** TiO<sub>2</sub>; photocatalyst; NO<sub>3</sub><sup>-</sup>; deactivation; regeneration

TiO<sub>2</sub> 光催化材料, 由于价廉、性能高以及具备长期社会实践验证的安全性, 在大气/水污染净化治理等环保领域的应用越来越广, 愈发受到重视<sup>[1-5]</sup>。由于在应用过程中, 随着氧化产物在催化剂表面的积累, 最终将导致光催化活性失活<sup>[6]</sup>, 因此, 预测 TiO<sub>2</sub> 光催化材料的寿命就成了实际应用中必然需要解决的问题, 研究 TiO<sub>2</sub> 光催化失活复活特性与表面附着基团浓度之间的关系有实际意义。

室内空气污染主要由甲醛、乙醛、氨、苯等的混

合有害气体构成。在 TiO<sub>2</sub> 的光生电子空穴的氧化作用下, 甲醛、乙醛、苯的最终氧化产物是二氧化碳和水; 而氨的最终氧化产物是 NO<sub>3</sub><sup>-</sup>, 它附着在 TiO<sub>2</sub> 表面, 阻碍光生电子空穴与有害气体的接触, 使光催化活性整体失活, 不仅导致 TiO<sub>2</sub> 降解氨的能力降低, 也导致 TiO<sub>2</sub> 降解甲醛、乙醛的能力降低。甲醛、乙醛是室内空气重要的指标, 同时, 相对于甲醛, 乙醛在实验室内更便于操作, 因此, 本研究使用乙醛作为 TiO<sub>2</sub> 的光催化活性标的。

收稿日期: 2009-09-14。收修改稿日期: 2009-11-23。

厦门大学人才引进项目(No.0044-X12101)资助项目。

\*通讯联系人。E-mail: zzh@xmu.edu.cn; 会员登记号: E494156461S。

第一作者: 周忠华, 男, 44岁, 教授, 研究方向: 环境材料及其应用。

Peral 和 Ollis 等<sup>[7]</sup>研究了  $\text{TiO}_2$  光催化气相降解含 Si、N 和 S 有机化合物过程中的失活;光催化氧化含 N 的吡咯、吲哚,最终导致  $\text{TiO}_2$  不可逆的光催化活性完全失活,通过俄歇电子能谱检测,证实  $\text{TiO}_2$  粉体表面附着物中含有 N 原子。Alberici 等<sup>[8]</sup>研究了  $\text{TiO}_2$  光催化气相降解吡啶、丙胺、二乙胺 3 种含 N 有机物;含 N 有机物在  $\text{TiO}_2$  光催化氧化作用下,形成铵自由基阳离子( $\text{RCH}=\text{NH}_2^+$ ),其进一步水解产生  $\text{NH}_4^+$ ,最终氧化产生  $\text{NO}_3^-$ ;  $\text{TiO}_2$  表面附着的  $\text{NH}_4^+$  和  $\text{NO}_3^-$  是其活性失活的主要原因。Chang 等<sup>[9]</sup>研究了  $\text{TiO}_2$  光催化气相降解二甲基甲酰胺,考察光催化失活规律,用 FTIR 检测  $\text{TiO}_2$  表面附着物来推断光催化失活原因; $\text{NH}_4^+$  和  $\text{NO}_3^-$  从  $\text{TiO}_2$  表面被检测出,导致  $\text{TiO}_2$  光催化活性失活; $\text{NH}_4^+$  是光催化氧化过程的中间产物,进一步被氧化,生成亚硝酸根离子,最终生成  $\text{NO}_3^-$ ;而且,Chang 等<sup>[9]</sup>在研究中,人为地往  $\text{TiO}_2$  表面分别喷洒氯化铵、硝酸钠以及硝酸铵溶液,研究表面附着基团对  $\text{TiO}_2$  光催化失活的影响,发现失活影响的顺序是:硝酸铵>氯化铵>硝酸钠。

虽然  $\text{NO}_3^-$  在  $\text{TiO}_2$  表面上的附着对  $\text{TiO}_2$  光催化降解有害气体的活性有重要影响(例如文献<sup>[6-9]</sup>),并且,也有通过人为地对  $\text{TiO}_2$  表面进行附着  $\text{NO}_3^-$ ,来研究对  $\text{TiO}_2$  光催化活性影响的报道(例如文献<sup>[9]</sup>),但是,由于相关报道还较少, $\text{TiO}_2$  光催化失活复活特性与表面附着  $\text{NO}_3^-$  的定量关系还没有明确。

另一方面, $\text{TiO}_2$  的吸附能力对其总体的光催化性能有重要作用,光催化活性包括表面吸附和光催化分解,是两者的综合。在  $\text{TiO}_2$  光催化活性的评价研究中,作者曾报道过异丙醇的光氧化反应,用反应物异丙醇及其中间产物丙酮的浓度变化来评价  $\text{TiO}_2$  的光催化活性<sup>[10-11]</sup>。由于丙酮能够被继续氧化,不是最终产物,因此该方法有局限性。

本工作通过人为控制  $\text{TiO}_2$  表面附着  $\text{NO}_3^-$  浓度,探讨  $\text{TiO}_2$  光催化失活复活特性与表面附着  $\text{NO}_3^-$  的定量关系。同时,以乙醛氧化反应为基础,探讨了能够分析  $\text{TiO}_2$  吸附能力以及光催化分解能力的实验方法。

## 1 实验部分

$\text{TiO}_2$  光催化粉体,采用锐钛矿型商品粉体为原料(粒径 6 nm,比表面积 304  $\text{m}^2 \cdot \text{g}^{-1}$ ,Tayca Co.),在大气气氛下经 400 ℃、3 h 加热处理。得到的粉体,晶型为锐钛矿、粒径约 10 nm,比表面积 186  $\text{m}^2 \cdot \text{g}^{-1}$ 。加热处理目的是除去表面可能存在的不明附着物质,

减少不确定性因素可能带来的实验误差。

### 1.1 各种表面附着 $\text{NO}_3^-$ 浓度的 $\text{TiO}_2$ 样品制备

配制 0.01、0.1、1 mol·L<sup>-1</sup> 3 种浓度的硝酸溶液,将  $\text{TiO}_2$  粉体,分别浸渍 1 h,然后 120 ℃、1 h 烘干,从而得到 3 种人为控制表面附着  $\text{NO}_3^-$  浓度  $\text{TiO}_2$  样品,分别称为 0.01 mol·L<sup>-1</sup>  $\text{HNO}_3$  浸泡样品、0.1 mol·L<sup>-1</sup>  $\text{HNO}_3$  浸泡样品、1 mol·L<sup>-1</sup>  $\text{HNO}_3$  浸泡样品。

鉴于样品制备过程中,没有高温加热过程,表面附着  $\text{NO}_3^-$  基团是物理吸附,可以采用纯水萃取法,萃取  $\text{TiO}_2$  粉体表面吸附的  $\text{NO}_3^-$ 。0.2 g 粉体样品浸渍 20 h 于 1 L 纯水中,每隔 1 h 取样,测定  $\text{NO}_3^-$  的萃取率。结果,浸渍 12 h 后,萃取率趋于饱和。超声强化萃取方法和上述结果一致。因此,样品中的  $\text{NO}_3^-$  浓度测定,采用萃取时间为 16 h,萃取的  $\text{NO}_3^-$  通过离子色谱仪(DIONEX. DX-120)检测,仪器检测精度为 1 mg·L<sup>-1</sup>。

### 1.2 吸附能力以及光催化分解能力的检测

设计采用乙醛作为反应物的系统,检测样品的吸附能力以及光催化分解能力。乙醛在  $\text{TiO}_2$  表面光生电子空穴产生的·OH 氧化作用下,最终生成  $\text{CO}_2$  和  $\text{H}_2\text{O}$ 。其光分解反应如反应式(1)所示<sup>[12]</sup>。



使用 UVA 紫外光高透过率的容积为 3 L 的四角型测试袋,封入粉体 0.3 g、摊开面积为 15 cm×15 cm,然后导入并充满乙醛和空气的混合气体( $\text{CH}_3\text{CHO}$  300~500 mg·L<sup>-1</sup>),暗室中静置 30 min;然后用 UVA 紫光灯(TOSHIBA BL20W)照射 30 min。样品表面的 UVA 强度调至 1.0 mW·cm<sup>-2</sup>(中心波长 365 nm)。整个过程的  $\text{CH}_3\text{CHO}$ 、 $\text{CO}_2$  和  $\text{H}_2\text{O}$  浓度用红外光声谱气体测试仪(Photoacoustic Multigas Monitor, INNOVA 1314)检测,每分钟测一组数据,检测精度 1 mg·L<sup>-1</sup>。测试仪气体的入口、出口和封有样品的测试袋构成循环系统,检测过程中保持测试袋中的气体体积一定。实验过程中,样品温度变化控制在±2 ℃之内。

### 1.3 光催化失活特性与表面附着 $\text{NO}_3^-$ 浓度的定量实验

1.1 制备的 4 种不同表面附着  $\text{NO}_3^-$  浓度的  $\text{TiO}_2$  样品,通过 1.2 的实验步骤,测定它们各自的乙醛吸附以及光催化分解能力。

### 1.4 光催化复活特性与表面附着 $\text{NO}_3^-$ 浓度的定量实验

取 1 mol·L<sup>-1</sup>  $\text{HNO}_3$  浸泡样品用于光催化复活实

验。复活实验如下:在流量2 L·min<sup>-1</sup>下用纯水冲洗3 g样品,测定样品中NO<sub>3</sub><sup>-</sup>浓度,求取冲洗时间与NO<sub>3</sub><sup>-</sup>去除率的相关关系。

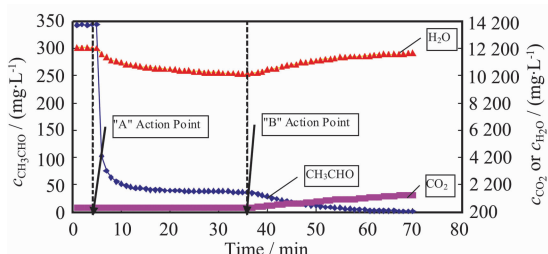
## 2 结果与讨论

### 2.1 吸附能力以及光催化分解能力

图1表示了以乙醛作为活性标的、TiO<sub>2</sub>样品的吸附能力以及光催化分解能力评价实验的典型原始数据。可以看到,“A”动作点(往测试袋中注入乙醛)后,气体中的乙醛被样品吸附,浓度降低;气体中的水也被样品吸附,浓度降低;气体中的CO<sub>2</sub>浓度没有变化,说明CO<sub>2</sub>不被样品吸附。暗室中静置30 min过程中,乙醛以及水的浓度变化逐渐变小,30 min后可以认为吸附与解吸达到平衡。样品的吸附能力 $\eta_{\text{Adsorb}}$ 通过公式(2)计算:

$$\eta_{\text{Adsorb}} = (C_{\text{Before}} - C_{\text{After}})/C_{\text{Before}} \times 100\% \quad (2)$$

$C_{\text{Before}}$ 取“A”动作前的乙醛浓度; $C_{\text{After}}$ 取“A”动作后30 min的乙醛浓度。



1 “A” action point: CH<sub>3</sub>CHO gas injected into the testing-bag; 2 “B” action point: switching UVA lamp on; 3 Time period between “A” and “B”: Stand still in dark room; 4 Time beyond “B”: UVA radiation

图1 TiO<sub>2</sub>的乙醛吸附能力以及光催化分解能力实验的典型原始数据。

Fig.1 Typical experimental data of CH<sub>3</sub>CHO adsorption and photolysis by TiO<sub>2</sub>

关于TiO<sub>2</sub>样品的光催化分解能力,可以从图1看出,“B”动作(打开UVA紫光灯)后,各成分的浓度变化如下:乙醛随UVA照射时间增加而降低;CO<sub>2</sub>以及水随UVA照射时间增加而增加。这个变化符合从反应式(1)的推理,即随紫外光的照射,乙醛通过光催化被分解,其生成最终产物为CO<sub>2</sub>和水。图1数据表明,光催化分解能力应该采用CO<sub>2</sub>浓度变化来计算,而不应该采用乙醛或者水的浓度变化数据,因为(1)乙醛和水容易受样品吸附与解吸,而CO<sub>2</sub>受样品吸附与解吸影响小;(2)在30 min的照射时间内,尽管乙醛降到0,CO<sub>2</sub>还继续生成,表明测试袋

气体中虽然不含乙醛,但是,TiO<sub>2</sub>表面仍吸附有乙醛或者其中间产物,继续被氧化生成CO<sub>2</sub>。

长时间照射下,CO<sub>2</sub>最终趋于饱和(数据省略)。实验数据表明,紫外光照射后15 min内,CO<sub>2</sub>浓度的增加量与照射时间呈现良好的直线关系,因此,光催化分解能力 $\eta_{\text{Photolysis}}$ 通过用“B”动作后15 min内的CO<sub>2</sub>生成量的平均值来表示,其意义是乙醛光催化分解生成CO<sub>2</sub>的速率,其单位为CO<sub>2</sub> mg·L<sup>-1</sup>·min<sup>-1</sup>。

### 2.2 表面附着NO<sub>3</sub><sup>-</sup>浓度

通过1.1的纯水萃取法,检测出原料TiO<sub>2</sub>粉体中含有50~200 mg·L<sup>-1</sup>不同程度的NO<sub>3</sub><sup>-</sup>浓度。经过加热处理得到的粉体,NO<sub>3</sub><sup>-</sup>浓度没有检测到,表明:(1)原料粉体中的NO<sub>3</sub><sup>-</sup>,经400 °C、3 h加热处理,可以认为被完全去除,其NO<sub>3</sub><sup>-</sup>浓度可以用0.00wt%表示;(2)用于测定粉体NO<sub>3</sub><sup>-</sup>浓度的1.1的纯水萃取法,是合理的、可靠的。

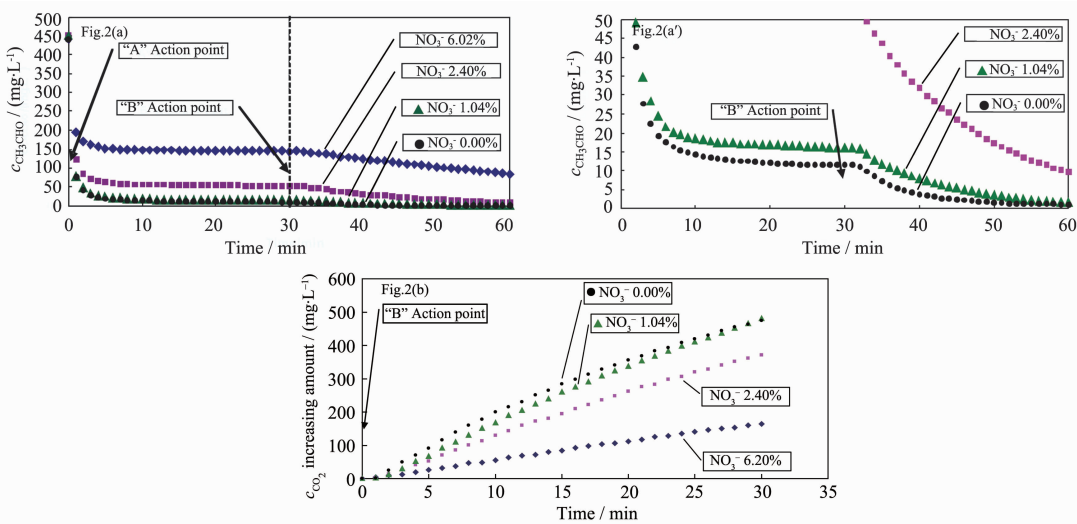
3种人为控制表面附着NO<sub>3</sub><sup>-</sup>的TiO<sub>2</sub>样品,0.01 mol·L<sup>-1</sup> HNO<sub>3</sub>浸泡样品、0.1 mol·L<sup>-1</sup> HNO<sub>3</sub>浸泡样品和1 mol·L<sup>-1</sup> HNO<sub>3</sub>浸泡样品,它们的NO<sub>3</sub><sup>-</sup>浓度检测结果分别为1.04wt%、2.40wt%和6.20wt%。另外,通过性能检测,表面附着NO<sub>3</sub><sup>-</sup>的TiO<sub>2</sub>样品制备过程中的120 °C、1 h烘干处理,对样品的吸附能力以及光催化分解能力不产生影响。

### 2.3 失活特性与表面附着NO<sub>3</sub><sup>-</sup>浓度

TiO<sub>2</sub>光催化失活特性与表面附着NO<sub>3</sub><sup>-</sup>浓度的实验结果见图2。乙醛浓度变化以及UVA照射后CO<sub>2</sub>生成量分别示于图2(a)、图2(b)中。

图2(a)中“A”与“B”之间时间段的乙醛数据表明:NO<sub>3</sub><sup>-</sup>0.00wt%和1.04wt%的TiO<sub>2</sub>样品具有同等的对乙醛的吸附能力;随着表面附着NO<sub>3</sub><sup>-</sup>浓度的继续增大,样品对乙醛的吸附能力降低;从图2(a)及其放大图2(a')中也可以看出,UVA照射后,对NO<sub>3</sub><sup>-</sup>浓度为0.00wt%、1.04wt%的样品,乙醛浓度明显降低,最后趋于0,而对NO<sub>3</sub><sup>-</sup>浓度为2.40wt%、6.20wt%的样品,乙醛浓度的降低在照射初期虽然比较明显,但是,照射后期降低缓慢,30 min照射不能完全降解乙醛,表明该2个样品光催化失活。图2(b)的光催化分解产生的CO<sub>2</sub>生成量数据表明:(1)光照射生成CO<sub>2</sub>的量的大小顺序是:NO<sub>3</sub><sup>-</sup>0.00wt%的样品≈1.04wt%>2.40wt%>6.20wt%;(2)NO<sub>3</sub><sup>-</sup>6.20wt%的样品,其光照射生成CO<sub>2</sub>的量还不到0.00wt%样品的一半,表明该样品失活加剧。

上述实验反复进行了2次,相对误差约为



1 “A” action point :  $\text{CH}_3\text{CHO}$  gas injected into the testing-bag; 2 “B” action point: switching UVA lamp on; 3 Time period between “A” and “B”: Stand still in dark room; 4 Time beyond “B”: UVA radiation

Fig.2(a) is the change of  $\text{CH}_3\text{CHO}$ , Fig.2(b) is the increasing amount of  $\text{CO}_2$ , Fig.2(a') is the enlargement of Fig 2(a)

图 2 不同表面附着  $\text{NO}_3^-$  浓度  $\text{TiO}_2$  样品的光催化活性实验数据

Fig.2 Photocatalytic activity testing data of  $\text{TiO}_2$  samples containing different adsorbed  $\text{NO}_3^-$  concentration

10%。

样品的吸附能力  $\eta_{\text{Adsorb}}$ 、光催化分解能力  $\eta_{\text{Photolysis}}$ ，从图 2 数据及 2.1 的方法算出。图 3 是它们对表面附着  $\text{NO}_3^-$  浓度作图。可以看出，随表面附着  $\text{NO}_3^-$  浓度从 0.00wt% 增至 1.04wt%， $\eta_{\text{Adsorb}}$  变化不大，但是  $\eta_{\text{Photolysis}}$  明显降低；继续增大  $\text{NO}_3^-$  浓度， $\eta_{\text{Adsorb}}$ 、 $\eta_{\text{Photolysis}}$  呈直线关系下降。

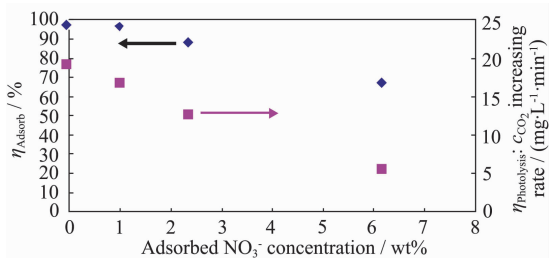
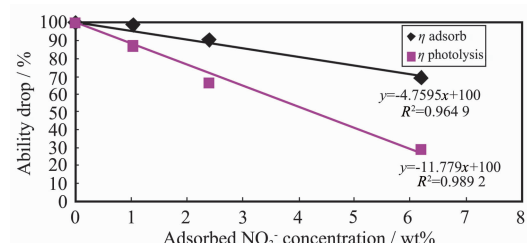


图 3  $\text{TiO}_2$  样品的吸附能力、光催化分解能力对表面附着  $\text{NO}_3^-$  浓度作图。

Fig.3 Plot of adsorption ability, photolysis ability vs adsorbed  $\text{NO}_3^-$  concentration of  $\text{TiO}_2$  samples

以表面附着  $\text{NO}_3^-$  浓度 0.00wt% 样品的  $\eta_{\text{Adsorb}}$ 、 $\eta_{\text{Photolysis}}$  为基准(100%)， $\eta_{\text{Adsorb}}$ 、 $\eta_{\text{Photolysis}}$  随  $\text{NO}_3^-$  浓度增加而降低的百分数用图 4 表示。从数据看出， $\eta_{\text{Adsorb}}$ 、 $\eta_{\text{Photolysis}}$  随表面附着  $\text{NO}_3^-$  浓度增加呈现直线关系下降。线性拟合结果已在图 4 中表示。计算得出， $\text{TiO}_2$  吸附能力降低了 50%( $\eta_{\text{Adsorb}50\%}$ )对应的表面附着  $\text{NO}_3^-$  浓度为 10.50wt%；光催化分解能力降低了 50%( $\eta_{\text{Photolysis}50\%}$ )对应的表面附着  $\text{NO}_3^-$  浓度为 4.24wt%。



The lines are linear fitting of the data

图 4 以表面附着  $\text{NO}_3^-$  浓度 0.00wt% 样品的吸附能力和光催化分解能力为 100%，各个样品的吸附能力与光催化能力分别与表面附着  $\text{NO}_3^-$  浓度作图

Fig.4 Ability drop of  $\text{TiO}_2$  adsorption ability and photolysis ability vs adsorbed  $\text{NO}_3^-$  concentration, taking the  $\text{TiO}_2$  sample with adsorbed  $\text{NO}_3^-$  0.00wt% as standard(100%)

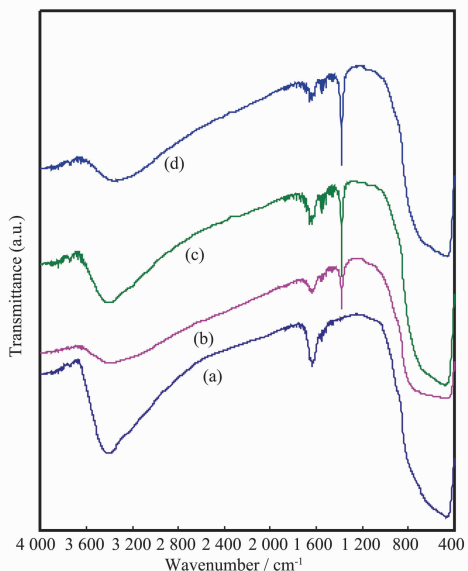
( $\eta_{\text{Photolysis}50\%}$ ) 对应的  $\text{NO}_3^-$  浓度为 4.24wt%。

$\eta_{\text{Adsorb}50\%}$ 、 $\eta_{\text{Photolysis}50\%}$  对应不同的表面附着  $\text{NO}_3^-$  浓度，可以从吸附和光催化分解两者机理的不同来理解。吸附是物理过程，而光催化分解是化学反应过程（例如反应式 1）。从以上分析， $\eta_{\text{Photolysis}50\%}$  对应的  $\text{NO}_3^-$  浓度比  $\eta_{\text{Adsorb}50\%}$  对应的  $\text{NO}_3^-$  浓度低得多，这表明  $\text{TiO}_2$  光催化分解能力比吸附能力更容易受表面附着  $\text{NO}_3^-$  浓度影响，光催化分解能力的失活比吸附能力的失活更容易。

Chang 等<sup>[9]</sup>人为地往  $\text{TiO}_2$  表面分别喷洒氯化铵、硝酸钠以及硝酸铵溶液，得到了  $\text{TiO}_2$  光催化失活影

响的顺序是:硝酸铵>氯化铵>硝酸钠。但是,要预测TiO<sub>2</sub>光催化剂的寿命还需要光催化活性与表面吸附基团的定量关系,在此意义上,上述的 $\eta_{\text{Aabsorb}50\%}$ 、 $\eta_{\text{Photolysis}50\%}$ 与表面附着NO<sub>3</sub><sup>-</sup>浓度对应关系的研究结果,将是有帮助的。

以上的结果是基于实验1.1的步骤制备的TiO<sub>2</sub>粉体样品中含有NO<sub>3</sub><sup>-</sup>基团的前提下讨论的。实验1.1的步骤得到的TiO<sub>2</sub>粉体是否确实含有NO<sub>3</sub><sup>-</sup>基团?是否还含有别的基团?本工作用FTIR进行了验证。FTIR测试样品是用KBr压片法制备。图5是TiO<sub>2</sub>样品的FTIR图谱。没有进行硝酸浸泡的TiO<sub>2</sub>样品的图谱(a)中,除了检测到归属于TiO<sub>2</sub>的480 cm<sup>-1</sup>强吸收峰以外,还检测到3440 cm<sup>-1</sup>宽的吸收峰(归属于O-H伸缩振动<sup>[9]</sup>)以及1646 cm<sup>-1</sup>的吸收峰(归属于O-H弯曲振动<sup>[9]</sup>)。检测结果和文献<sup>[9]</sup>一致。O-H相关的吸收峰可能与TiO<sub>2</sub>表面吸附水有关。通过硝酸浸泡得到的TiO<sub>2</sub>样品的(b)、(c)、(d)图谱中,在1384 cm<sup>-1</sup>处检测到新的吸收峰,其强度(d)>(c)>(b)。根据文献<sup>[9]</sup>,1384 cm<sup>-1</sup>吸收峰归属于NO<sub>3</sub><sup>-</sup>基团的N-O伸缩振动,因此,可以断定(b)、(c)、(d)中含有NO<sub>3</sub><sup>-</sup>基团,而且NO<sub>3</sub><sup>-</sup>浓度为(d)>(c)>(b)。FTIR检测结果和实验1.1通过离子色谱仪检测结果相吻合,可以推



(a) TiO<sub>2</sub> sintered at 400 °C 3 h; (b), (c) and (d) the TiO<sub>2</sub> powder of (a) sample dipped 1 h in 0.01 mol·L<sup>-1</sup>, 0.1 mol·L<sup>-1</sup> and 1 mol·L<sup>-1</sup> HNO<sub>3</sub>, respectively, then dried at 120 °C 1 h.

图5 通过1.1的实验步骤制备的四种不同NO<sub>3</sub><sup>-</sup>浓度的TiO<sub>2</sub>样品的FTIR图谱

Fig.5 FTIR spectra of four types of TiO<sub>2</sub> with different NO<sub>3</sub><sup>-</sup> concentration prepared by method in Experimental 1.1

断,实验1.1制备的TiO<sub>2</sub>粉体确实含有NO<sub>3</sub><sup>-</sup>基团,NO<sub>3</sub><sup>-</sup>基团附着于TiO<sub>2</sub>表面。另外,从(b)、(c)、(d)图谱中,除了NO<sub>3</sub><sup>-</sup>基团以外,没有检测到别的基团。因此,本工作用人为地控制表面附着NO<sub>3</sub><sup>-</sup>浓度来研究TiO<sub>2</sub>吸附能力以及光催化分解能力,此实验方法的出发点,从FTIR图谱中得到了佐证。

#### 2.4 复活特性与表面附着NO<sub>3</sub><sup>-</sup>浓度

图6表示了在溢流2 L·min<sup>-1</sup>状态下,样品中残留NO<sub>3</sub><sup>-</sup>浓度、NO<sub>3</sub><sup>-</sup>去除率与水洗时间的相关关系。从图6看出,残留NO<sub>3</sub><sup>-</sup>浓度随水洗时间的增加急剧降低;水洗2 h,NO<sub>3</sub><sup>-</sup>去除率达到98%。实验证实,水洗2 h样品的吸附能力以及光催化分解能力完全恢复。以上表明在溢流状态下的水洗是去除TiO<sub>2</sub>表面附着NO<sub>3</sub><sup>-</sup>,使光催化复活的有效方法。

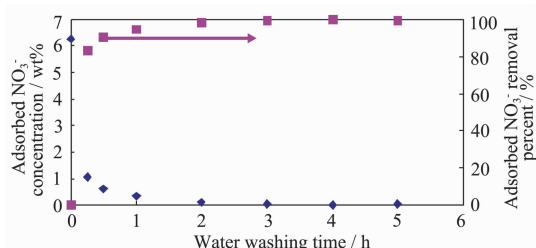


图6 表面附着NO<sub>3</sub><sup>-</sup>浓度为6.20wt%的TiO<sub>2</sub>样品,在溢流2 L·min<sup>-1</sup>状态下,样品中残留NO<sub>3</sub><sup>-</sup>浓度、NO<sub>3</sub><sup>-</sup>去除率与水洗时间的相关关系

Fig.6 Plot of residual NO<sub>3</sub><sup>-</sup> and NO<sub>3</sub><sup>-</sup> removal percent vs water washing-time. The TiO<sub>2</sub> sample with adsorbed NO<sub>3</sub><sup>-</sup> 6.20wt % under 2 L·min<sup>-1</sup> overflowing

### 3 结论

通过人为控制TiO<sub>2</sub>样品中的表面附着NO<sub>3</sub><sup>-</sup>浓度,分析了NO<sub>3</sub><sup>-</sup>浓度对TiO<sub>2</sub>的吸附能力以及光催化分解能力的失活影响。结果表明,TiO<sub>2</sub>的光催化分解能力的失活与其吸附能力的失活相比,更容易受表面附着NO<sub>3</sub><sup>-</sup>浓度影响。光催化分解能力降低了50%对应的表面附着NO<sub>3</sub><sup>-</sup>浓度为4.24wt%;吸附能力降低了50%对应的表面附着NO<sub>3</sub><sup>-</sup>浓度为10.50wt%。在溢流状态下的水洗是去除NO<sub>3</sub><sup>-</sup>,使TiO<sub>2</sub>的吸附能力以及光催化分解能力复活的有效方法。另一方面,利用乙醛氧化反应,能够有效地探测到TiO<sub>2</sub>吸附能力以及光催化分解能力的变化。

致谢:感谢日本科发伦材料株式会社研究所在测试中的帮助。

## 参考文献:

- [1] Hashimoto K, Irie H, Fujishima A. *Jpn. J. Appl. Phys.*, **2005**, *44*(12):8269-8285
- [2] Hoffmann M R, Martin S T, Choi W Y. *Chem. Rev.*, **1995**, *95*(1):69-96
- [3] ZOU Zhi-Gang(邹志刚), ZHAO Jin-Cai(赵进才), FU Xian-Zhi (付贤智), et al. *Functional Materials Information (Gongneng Cailiao Xinxi)*, **2005**, *06*:15-19
- [4] FU Xian-Zhi(付贤智), DING Zheng-Xin(丁正新), SU Wen-Yue(苏文悦), et al. *Chinese J. Catal.(Cuihua Xuebao)*, **1999**, *20*(3):321-324
- [5] WANG Yong(王 勇), ZHANG Jun(张 军), YANG Qing-Lin(杨青林), et al. *Mat. Rev. (Cailiao Daobao)*, **2006**(S2): 68-71
- [6] Sauer M L, Ollis D F. *J. Catal.*, **1996**, *163*:215-217
- [7] Peral J, Ollis D F. *J. Mol. Catal. A: Chem.*, **1997**, *115*:347-354
- [8] Alberici R M, Canela M C, Eberlin M N, et al. *Appl. Catal. B: Environ.*, **2001**, *30*:389-397
- [9] Chang C P, Chen J N, Lu M C, et al. *Chemosphere*, **2005**, *58*:1071-1078
- [10] Zhou Z H, Tokuoka F, Ito Y, et al. Al-Ekabi H Ed. *Proc. of 9th Int. Conf. on TiO<sub>2</sub> Photocatalyst*. San Diego: [s.n.], **2004**.
- [11] Zhou Z H, Tokuoka F, Ito Y, et al. *US Patent*, 7175911. 2007.
- [12] Kim H, Choi W Y. *Appl. Catal. B: Environ.*, **2007**, *69*:127-132